

## 2- Vicinal Coupling $^3J(H,H)$

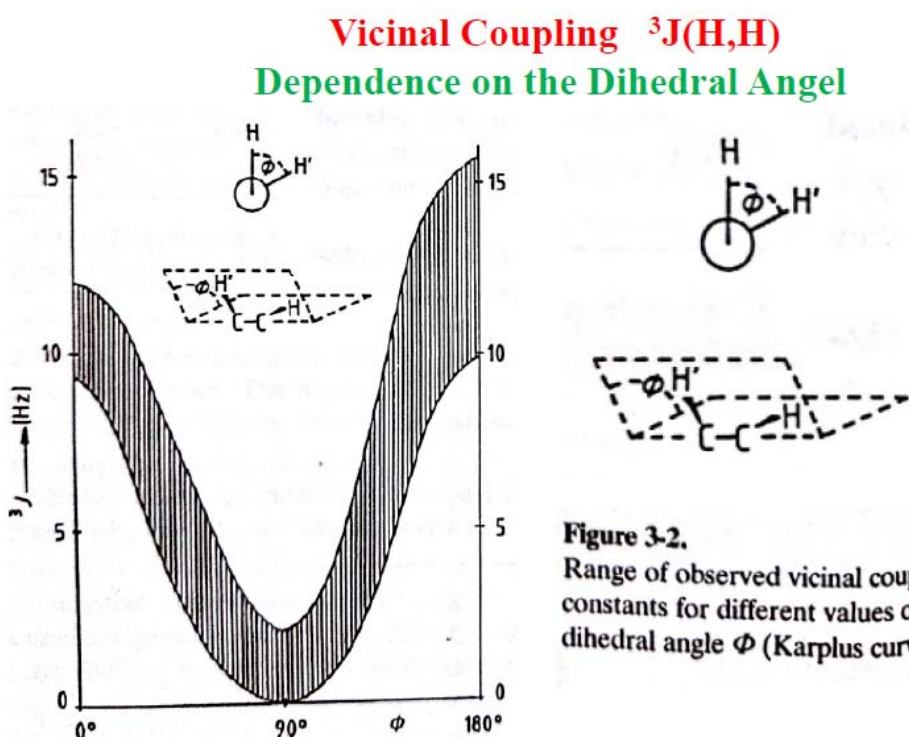
### عوامل مؤثر:

- زاویه پیچش یا دووجهی (Torsional or Dihedral angle)
- استخلافها
- فاصله بین دو اتم کربن مربوط
- زاویه پیوند H-C-C

Table 3-5.  
Ranges and typical values of vicinal H,H coupling constants.

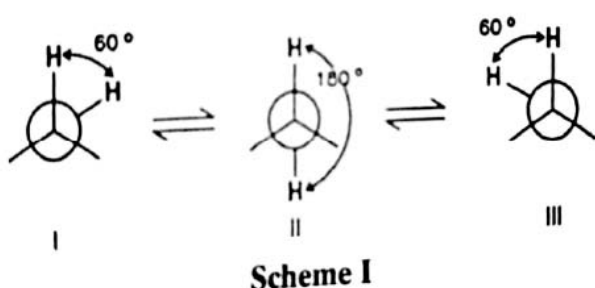
Compound		$^3J(H,H)$ [Hz]	Typical value <sup>b)</sup>
	Range <sup>b)</sup>		
Cyclopropane	<i>cis</i>	6–10	8
	<i>trans</i>	3– 6	5
Cyclobutane	<i>cis</i>	6–10	–
	<i>trans</i>	5– 9	–
Cyclohexane	a, a	6–14	9
	a, e	3– 5	3
	e, e	0– 5	3
Benzene	<i>ortho</i>	6–10	9
Pyridine	2,3	5– 6	5
	3,4	7– 9	8
H–C–C–H		0–12	7
=CH–CH=		9–13	10
–CH=CH <sub>2</sub>	<i>cis</i>	5–14	10
	<i>trans</i>	11–19	16
>CH–CHO		1– 3	3
=CH–CHO		5– 8	6
CH–NH <sup>a)</sup>		4– 8	5
CH–OH <sup>a)</sup>		4–10	5
CH–SH <sup>a)</sup>		6– 8	7

<sup>a)</sup> Not exchanging. <sup>b)</sup> All values are positive.

**Figure 3-2.**

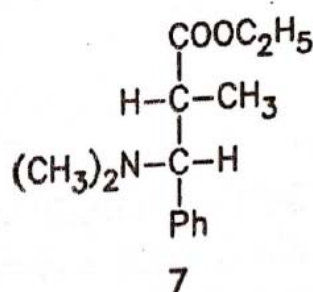
Range of observed vicinal coupling constants for different values of the dihedral angle  $\Phi$  (Karplus curve).

مثالهایی از کاربرد منحنی کارپلوس و مقادیر ثابت جفت شدن در استریووشیمی



اگر سه روتامر دارای انرژی یکسان باشند:

$$^3J = 1/3 (2 ^3J_g + ^3J_t) \sim 7 \text{ Hz}$$



مقدار بدست آمده برای ثابت جفت شدن ویسینال حدود ۱۱ هرتز است که از مقدار محاسبه شده از معاله زیربیشتر است:

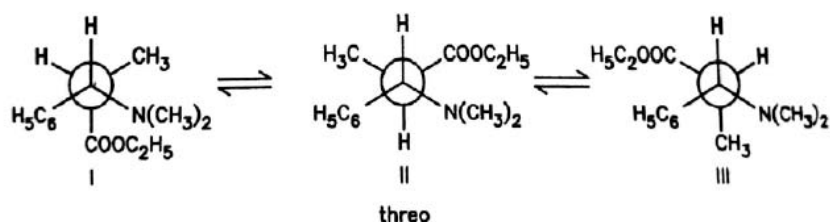
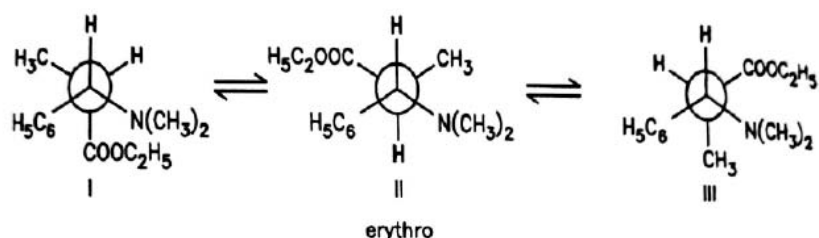
$$^3J = 1/3 (2 \cdot ^3J_g + ^3J_t) \sim 7 \text{ Hz}$$

در صورت متفاوت بودن انرژی سه روتامر:

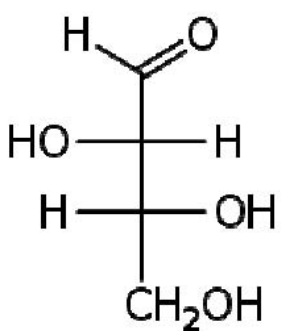
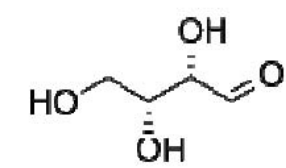
$$^3J = x_1 J_g + x_{II} J_t + x_{III} J_g$$

مقادیر  $\chi$  جزء مولی هر یک از روتامرها است

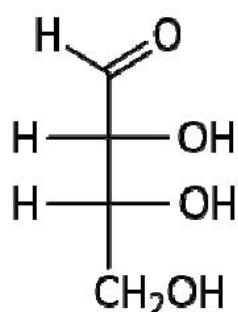
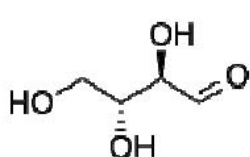
روتامر II (کنفورماسیون ترانس) ارجحیت دارد  
و تعادل به سمت این روتوامر (در هر دو فرم اریترو و ترئو) به پیش می‌رود



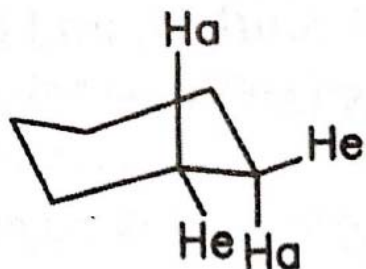
### Fischer projection



Threose



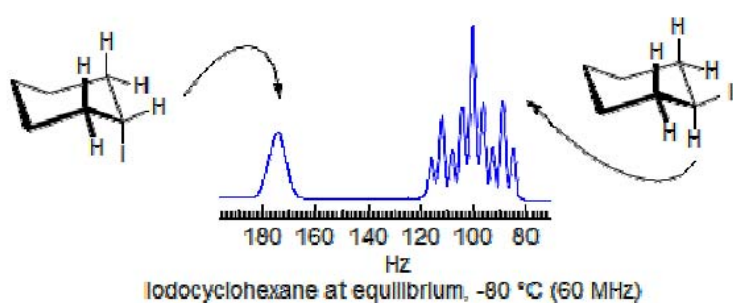
Erythrose

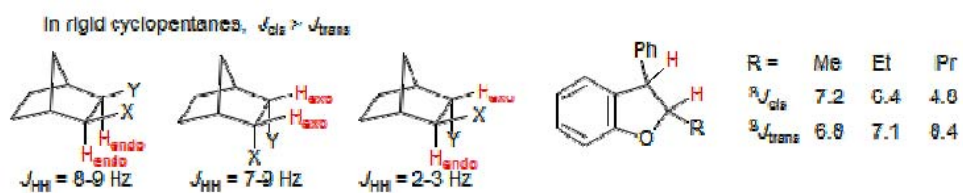
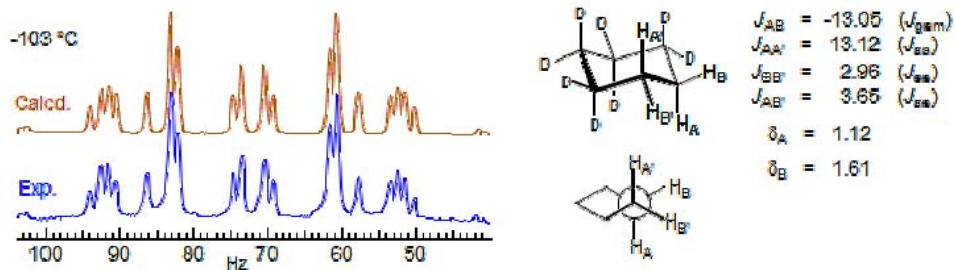


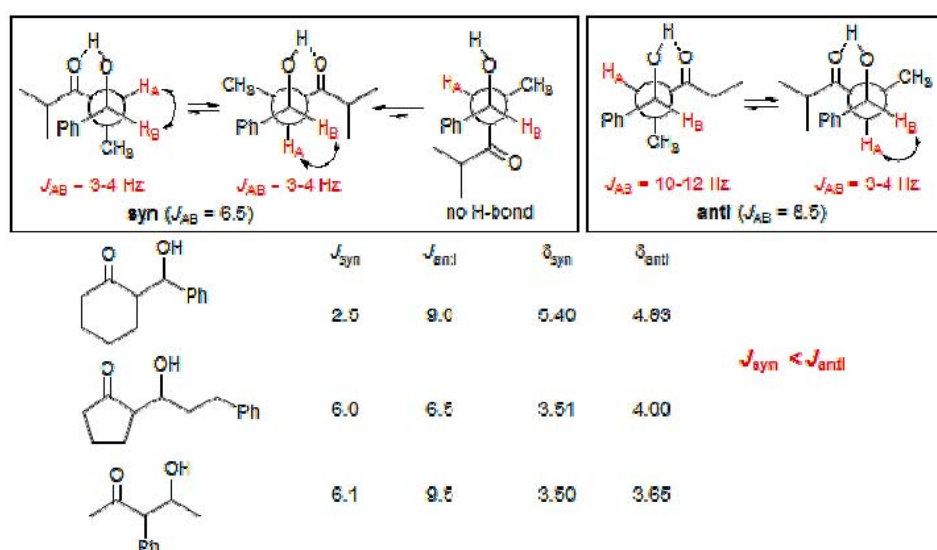
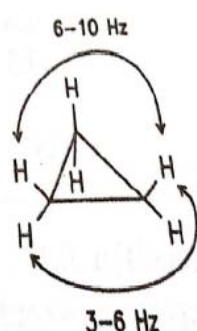
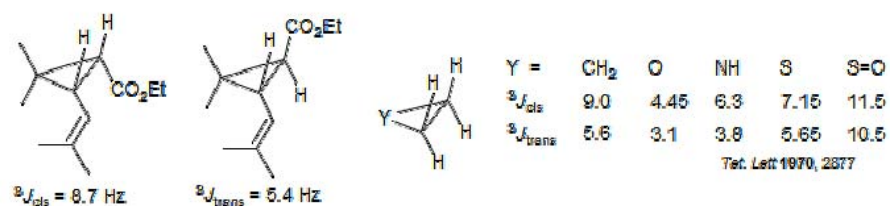
8

$$^3J_{aa} \approx 7\text{--}9 \text{ Hz}$$

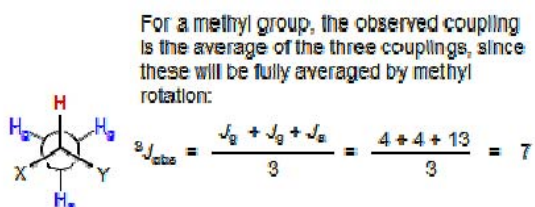
$$^3J_{ae} \approx ^3J_{ee} \approx 2\text{--}5 \text{ Hz}$$







$\text{CH}_3-\text{CH}_2-X$			
X	$^3J$	E	Ref.
Li	8.9	-1.0	TL 1983, 787
$\text{SiEt}_3$	8.0	1.9	
H	8.0		CJC 1983, 41, 2114
I	7.45	2.5	
Br	7.33	2.8	
$\text{CH}_3$	7.26	2.5	CJP 1990, 32, 67
Cl	7.23	3.1	
$\text{NEt}_2$	7.13	3.0	JCP 1984, 68, 3430
$\text{OEt}$	6.97	3.5	JCP 1984, 68, 3430
OH	6.97	3.5	JCP 1988, 25, 382
F	6.9	4.0	JACS 1961, 83, 4473
$\text{t-OEt}_2$	4.7		JACS 1959, 81, 5828



X	$J_{\text{trans}}$	$J_{\text{cis}}$	E <sup>a</sup>
H	3.81	8.73	
CN	4.6	8.3	2.49
$\text{CO}_2\text{H}$	4.4	8.5	2.60
$\text{C}_2\text{H}_5$	4.2	8.9	2.75
Cl	3.2	8.0	3.25
DH	2.4	7.4	3.43
DAc	2.5	7.7	3.60

<sup>a</sup> JCP 1981, 94, 1099

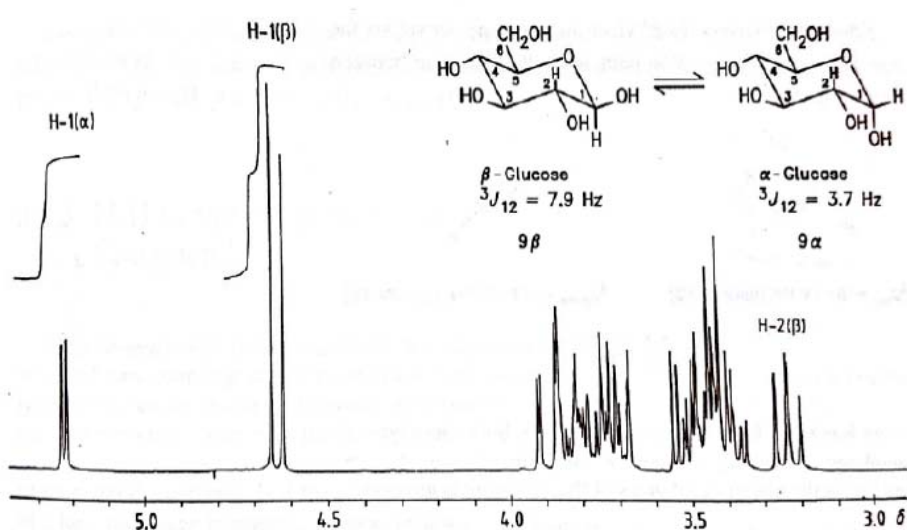


Figure 3-3.  
250 MHz  $^1\text{H}$  NMR spectrum of glucose (9) in  $\text{D}_2\text{O}$ . The residual HDO signal of the solvent was suppressed (see Section 7.2.4 and Ref. [32] of Chap. 11).

مقایسه انگرال پیکها نشان می‌دهد که حدود ۴۰ درصد آلفا گلوکز و حدود ۶۰ درصد بتاگلوکز در مخلوط تعادلی حضور دارند.